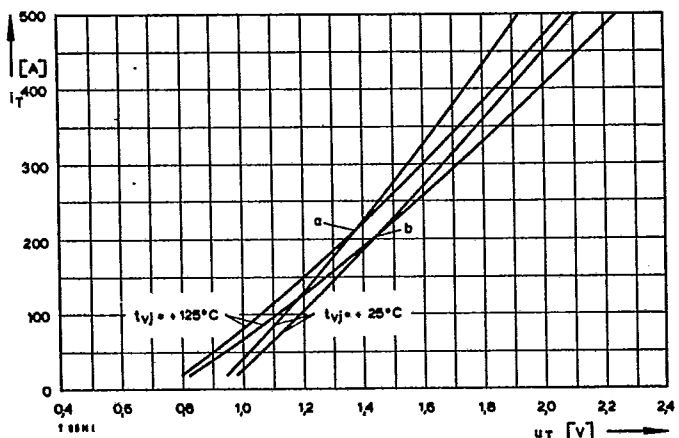
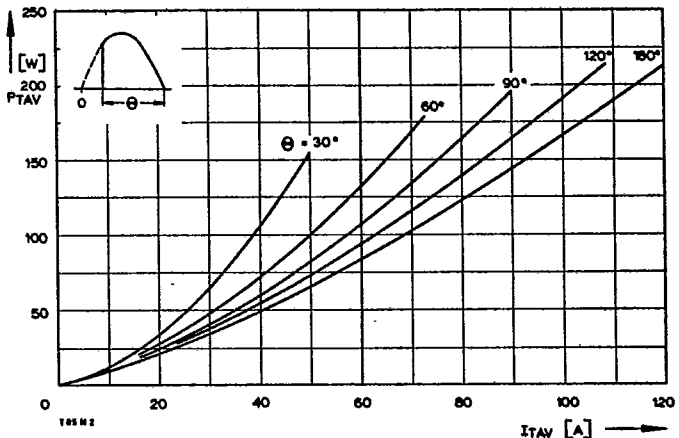


Type Range		T85N	400*	600	800	1000	1100	1200	1400	1600	1800*
Elektrische Eigenschaften		Electrical properties									
Höchstzulässige Werte		Maximum permissible values									
U_{DRM} , U_{RRM}	Periodische Vorwärts- und Rückwärts-Spitzenperrspannung	repetitive peak forward off-state and reverse voltages						400...1800	V		
I_{TRMSM}	Effektiver Durchlaßstrom	RMS on-state current						200	A		
I_{TAVM}	Dauergrenzstrom	average on-state current						85	A		
I_{TRM}	Periodischer Spitzenstrom	repetitive peak on-state current						127	A		
I_{TSM}	Stoßstrom-Grenzwert	surge current						1,2	kA		
$\int I^2 dt$	Grenzlastintegral	$\int I^2 dt$ -value						2,3	kA		
$(di/dt)_{cr}$	Kritische Stromsteilheit	critical rate of rise of on-state current						2	kA		
$(du/dt)_{cr}$	Kritische Spannungssteilheit	critical rate of rise of off-state voltage						26,5	kA ² s		
		nicht periodisch/non repetitive						20	kA ² s		
		Dauerbetrieb/continuous operation, $I_{TM} = 400$ A						800	A/ μ s		
		Steuergenerator/pulse generator: $U_D = 10$ V, $I_G = 0,6$ A, $di_G/dt = 0,6$ A/ μ s						150	A/ μ s		
		$U_D = 67\% U_{DRM}$						400	V/ μ s		
		5. Kennbuchstabe/5th letter C						1000	V/ μ s		
		5. Kennbuchstabe/5th letter F									
Charakteristische Werte		Characteristic values									
U_T	Obere Durchlaßspannung	$I_J = 25^\circ\text{C}, U_D = 400$ A						1,9	V		
$U_{(ro)}$	Schleusenspannung	$I_J = 125^\circ\text{C}$						1	V		
r_T	Ersatzwiderstand	$I_J = 125^\circ\text{C}$						2,6	m Ω		
U_{GT}	Obere Zündspannung	$I_J = 25^\circ\text{C}, U_D = 6$ V, $R_A = 5$ Ω						1,4	V		
I_{GT}	Oberer Zündstrom	$I_J = 25^\circ\text{C}, U_D = 6$ V, $R_A = 5$ Ω						150	mA		
	Unterer Zündstrom	$I_J = 125^\circ\text{C}, U_D = 6$ V, $R_A = 5$ Ω						5	mA		
I_H	Oberer Haltestrom	$I_J = 25^\circ\text{C}, U_D = 6$ V, $R_A = 5$ Ω						200	mA		
I_L	Oberer Einraststrom	$I_J = 25^\circ\text{C}, U_D = 6$ V, $R_{AK} \geq 10$ Ω						620	mA		
		Steuergenerator/pulse generator: $I_G = 0,6$ A, $di_G/dt = 0,6$ A/ μ s, $t_g = 20$ μ s									
I_D, I_R	Oberer Vorwärts- und Rückwärts-Sperrstrom	$I_J = 125^\circ\text{C}, U_D = U_{DRM}$ ($U_R = U_{RRM}$)						25	mA		
t_{qd}	Oberer Zündverzug							3	μ s		
t_q	Typische Freiwerdezeit	max. forward off-state and reverse currents									
C_{null}	Typische Nullkapazität	max. gate controlled delay time									
Thermische Eigenschaften		Thermal properties									
R_{thJC}	Innerer Wärmewiderstand	$\Theta = 180^\circ\text{el}$, sinus									
	Betriebstemperatur	DC									
	Lagertemperatur	$\leq 0,3$ °C/W									
		$\leq 0,28$ °C/W									
		–40°C...+125°C									
		–40°C...+150°C									
Mechanische Eigenschaften		Mechanical properties									
G	Si-Element mit Druckkontakt	Si-pellet with pressure contact									
M	Gewicht	weight						150	g		
	Anzugsdrehmoment	tightening torque						20	Nm		
	Maßbilder	outlines									
	Kriechstrecke	creepage distance									
	Feuchteklassse	humidity classification									
	Schüttfestigkeit	vibration resistance									
		DIN 40040									
		$f = 50$ Hz									
		8 mm									
		Seite/page 233									
		C									
		5x9,81 m/s ²									



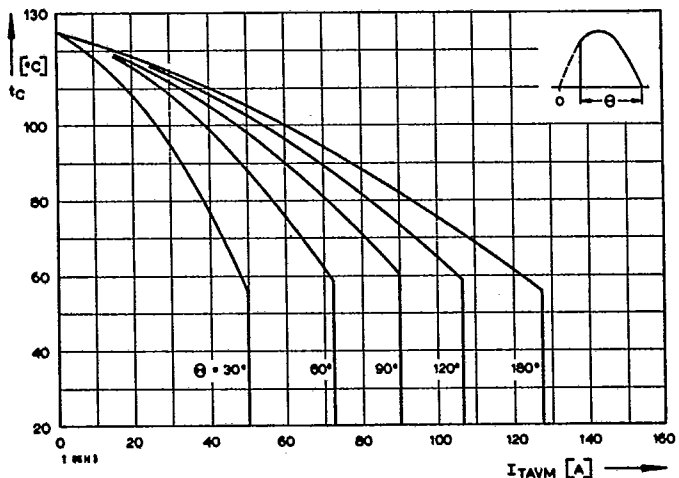
Bild/Fig. 1

Durchlaßkennlinien/On-state characteristics
 a – Typische Kennlinien/typical characteristics
 b – Grenzkennlinien/limiting characteristics



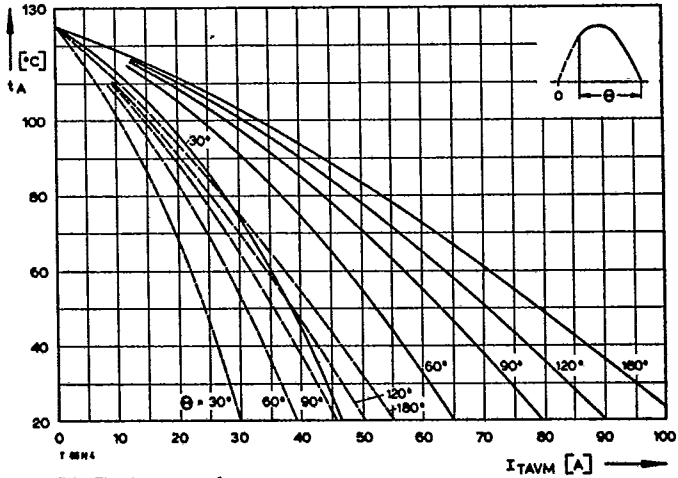
Bild/Fig. 2

Durchlaßverlustleistung P_T /On-state power loss P_{TAV}
 Parameter: Stromflußwinkel Θ /current conduction angle Θ



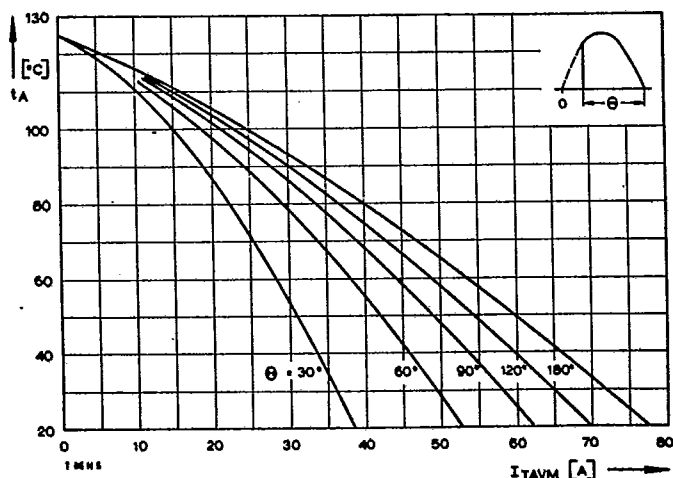
Bild/Fig. 3

Höchstzulässige Gehäusetemperatur t_c
 Maximum allowable case temperature t_c



Bild/Fig. 4

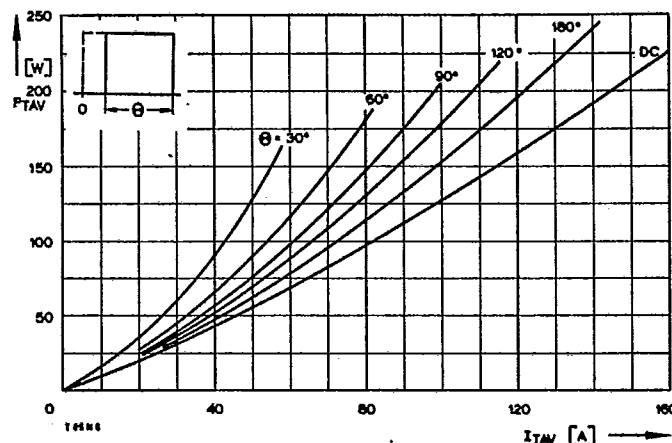
Höchstzulässige Kühlmitteltemperatur t_A , Kühlkörper KL 42
 Maximum allowable cooling medium temperature t_A , heatsink type KL 42
 ----- Luftselbstkühlung/natural cooling
 ————— Verstärkte Luftkühlung/forced cooling



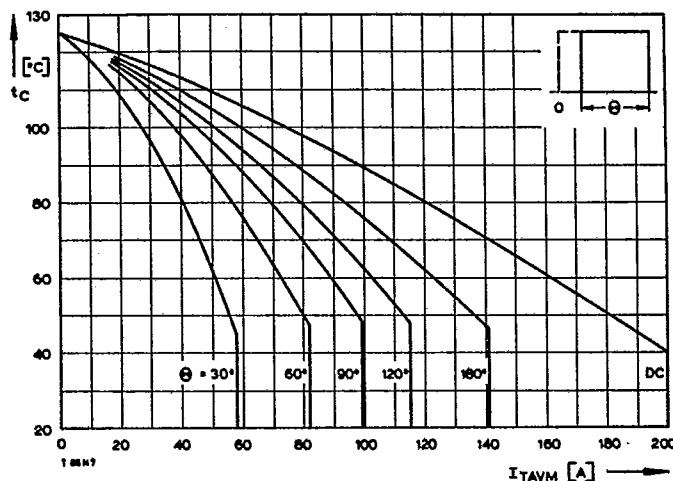
Bild/Fig. 5

Höchstzulässige Kühlmitteltemperatur t_A bei Luftselbstkühlung,
 Kühlkörper KL 91
 Maximum allowable cooling medium temperature t_A at natural cooling,
 heatsink type KL 91

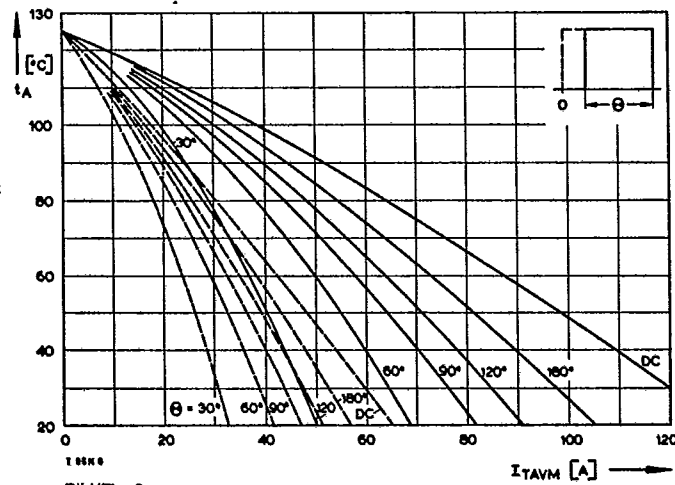
T85 N



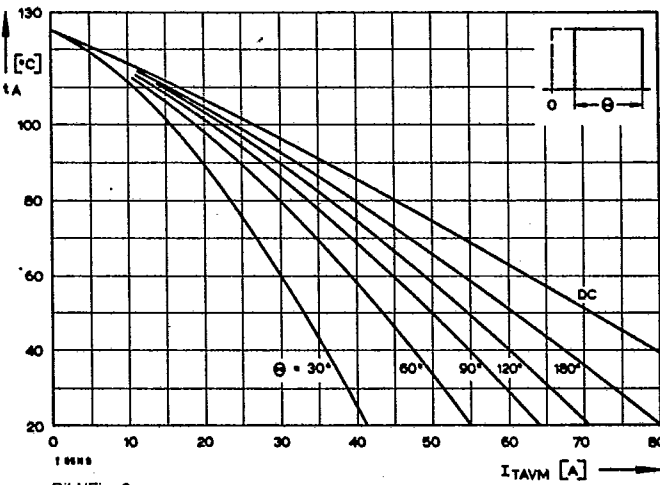
Bild/Fig. 6
Durchlaßverlustleistung P_T /On-state power loss P_T
Parameter: Stromflußwinkel Θ /current conduction angle Θ



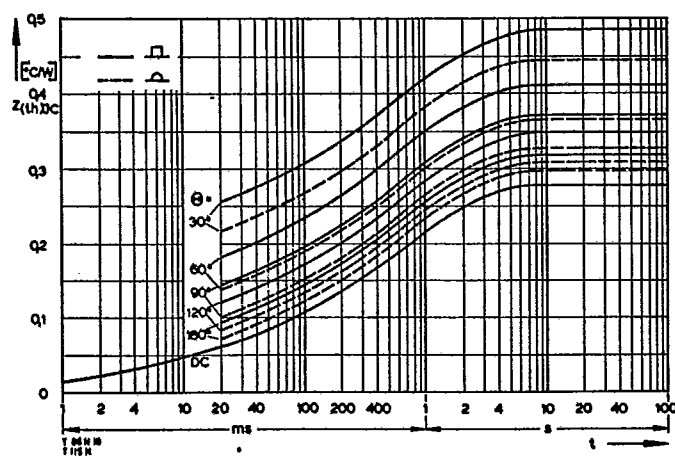
Bild/Fig. 7
Höchstzulässige Gehäusetemperatur t_c
Maximum allowable case temperature t_c



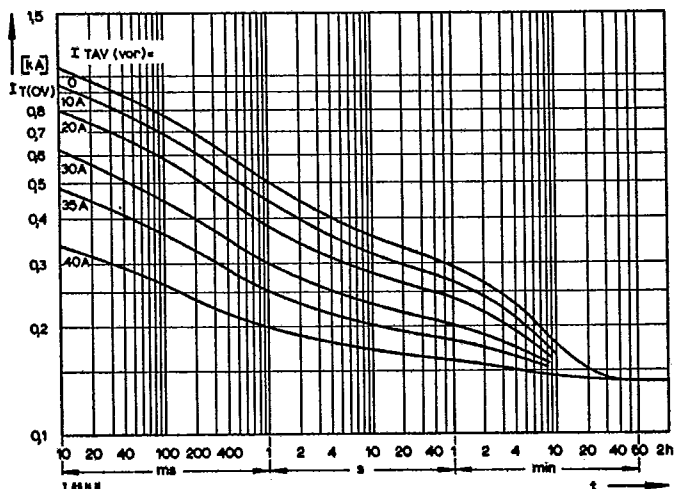
Bild/Fig. 8
Höchstzulässige Kühlmittelttemperatur t_A , Kühlkörper KL 42
Maximum allowable cooling medium temperature t_A , heatsink type KL 42
---- Luftselbstkühlung/natural cooling
— Verstärkte Luftkühlung/forced cooling



Bild/Fig. 9
Höchstzulässige Kühlmittelttemperatur t_A bei Luftselbstkühlung,
Kühlkörper KL 91
Maximum allowable cooling medium temperature t_A at natural cooling,
heatsink type KL 91



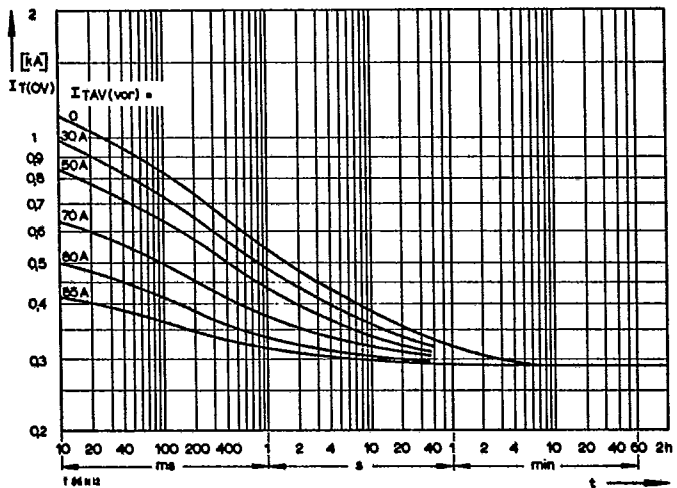
Bild/Fig. 10
Transient thermal impedance $Z_{(th)JC}$, junction to case at sinusoidal and
square wave current.



Bild/Fig. 11

Überstrom $I_{T(OV)}$ bei Luftselbstkühlung, $t_A = 45^\circ\text{C}$, Kühlkörper KL 42Overload on-state current $I_{T(OV)}$ at natural cooling, $t_A = 45^\circ\text{C}$,

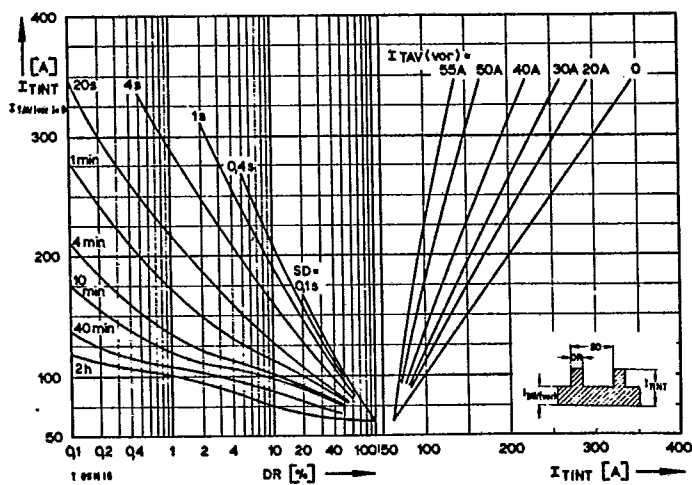
heatsink type KL 42

Parameter: Vorlaststrom/pre-load current $I_{TAV(\text{vor})}$ 

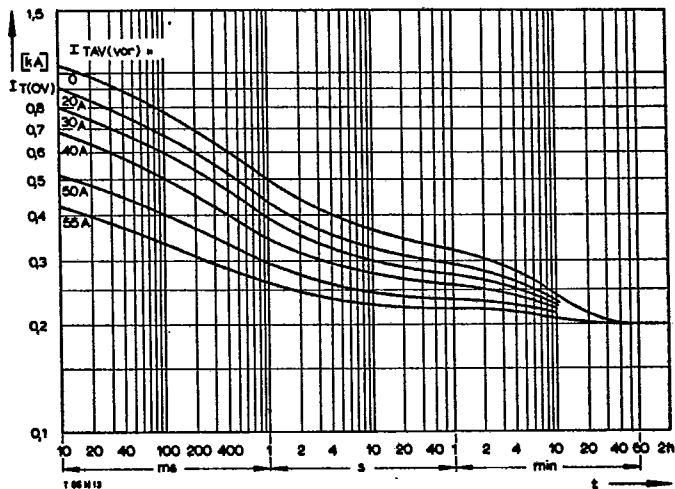
Bild/Fig. 13

Überstrom $I_{T(OV)}$ bei verstärkter Luftkühlung, $t_A = 35^\circ\text{C}$, Kühlkörper KL 42Overload on-state current $I_{T(OV)}$ at forced cooling, $t_A = 35^\circ\text{C}$,

heatsink type KL 42

Parameter: Vorlaststrom/pre-load current $I_{TAV(\text{vor})}$ 

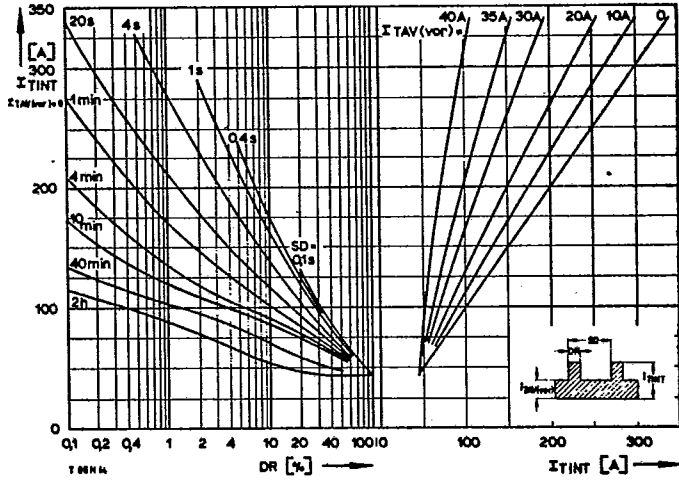
Bild/Fig. 15

Höchstzulässiger Durchlaßstrom I_{TINT} bei Aussetzbetrieb und Luftselbstkühlung, $t_A = 45^\circ\text{C}$, Kühlkörper KL 91Limiting on-state current I_{TINT} during intermittent operation at natural cooling, $t_A = 45^\circ\text{C}$, heatsink type KL 91Parameter: Spieldauer/cycle duration SD
Vorlaststrom/pre-load current $I_{TAV(\text{vor})}$ 

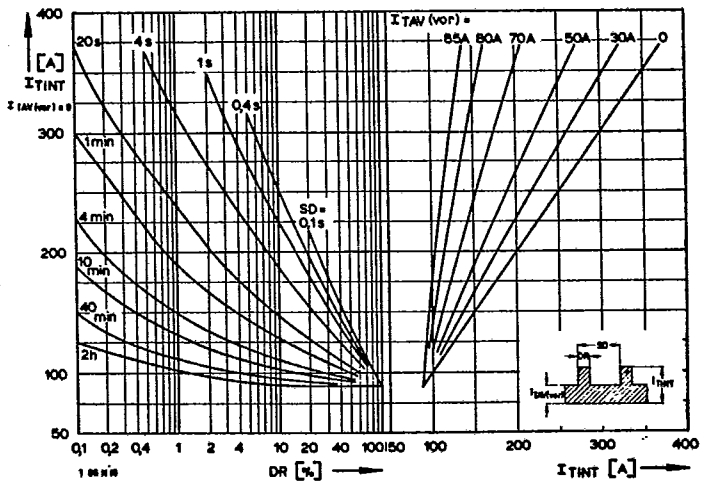
Bild/Fig. 12

Überstrom $I_{T(OV)}$ bei Luftselbstkühlung, $t_A = 45^\circ\text{C}$, Kühlkörper KL 91Overload on-state current $I_{T(OV)}$ at natural cooling, $t_A = 45^\circ\text{C}$,

heatsink type KL 91

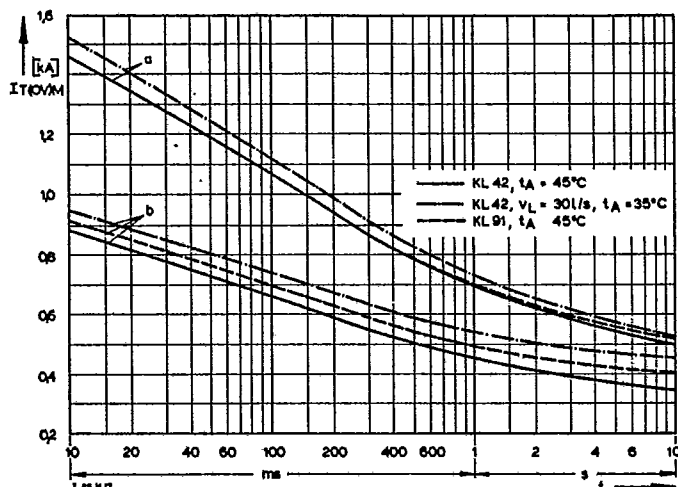
Parameter: Vorlaststrom/pre-load current $I_{TAV(\text{vor})}$ 

Bild/Fig. 14

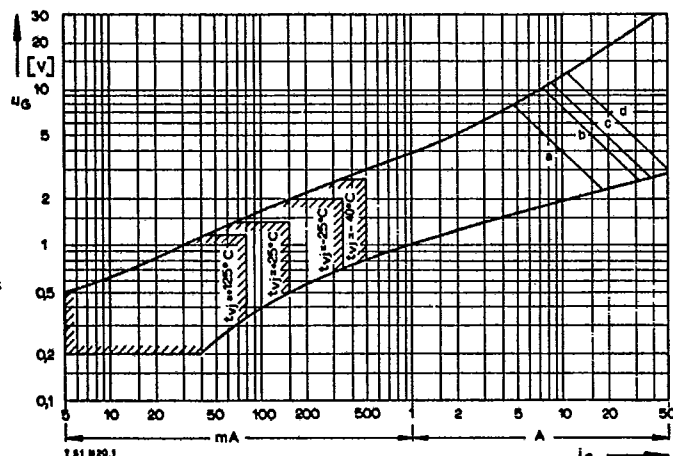
Höchstzulässiger Durchlaßstrom I_{TINT} bei Aussetzbetrieb und Luftselbstkühlung, $t_A = 45^\circ\text{C}$, Kühlkörper KL 42Limiting on-state current I_{TINT} during intermittent operation at natural cooling, $t_A = 45^\circ\text{C}$, heatsink type KL 42Parameter: Spieldauer/cycle duration SD
Vorlaststrom/pre-load current $I_{TAV(\text{vor})}$ 

Bild/Fig. 16

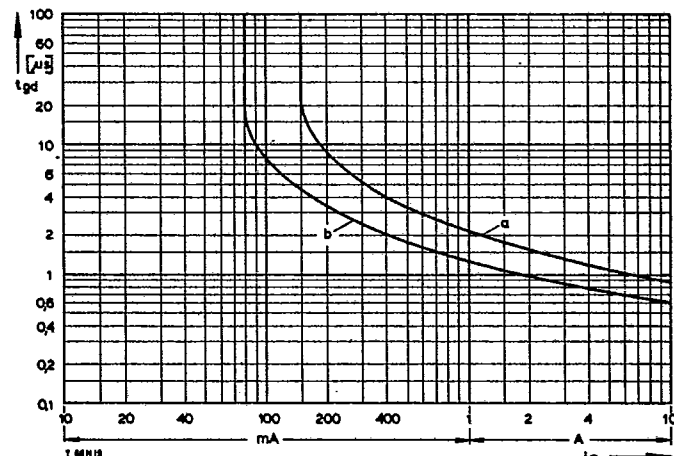
Höchstzulässiger Durchlaßstrom I_{TINT} bei Aussetzbetrieb und verstärkter Luftkühlung, $t_A = 35^\circ\text{C}$, Kühlkörper KL 42Limiting on-state current I_{TINT} during intermittent operation at forced cooling, $t_A = 35^\circ\text{C}$, heatsink type KL 42Parameter: Spieldauer/cycle duration SD
Vorlaststrom/pre-load current $I_{TAV(\text{vor})}$



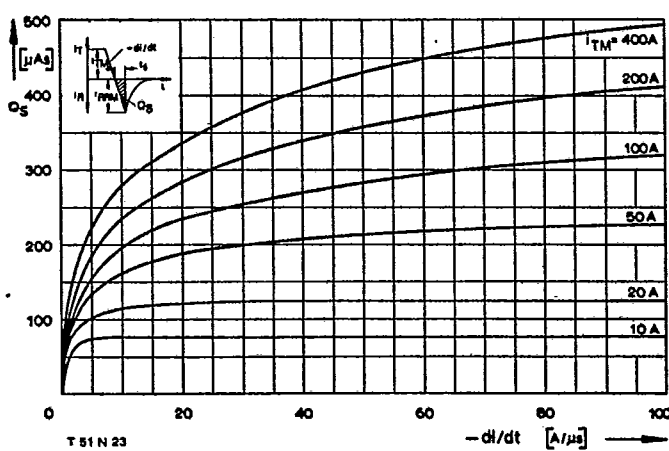
Bild/Fig. 17
Grenzstrom $I_{TOV/M}$ bei Luftselbstkühlung und verstärkter Luftkühlung,
Kühlkörper KL 42... und KL 91..., $U_{RM} = 0,8 U_{RRM}$.
Limiting overload on-state current $I_{TOV/M}$ at natural and forced cooling,
heatsink type KL 42... and KL 91..., $U_{RM} = 0,8 U_{RRM}$.
a – Belastung aus Leerlauf/current surge under no-load conditions
b – Belastung nach Betrieb mit Dauergrenzstrom I_{TAVM} /current surge occurs during operation at limiting mean on-state current rating I_{TAVM}



Bild/Fig. 18
Zündbereich und Spitzensteuerleistung bei $U_G \geq 6\text{ V}$.
Gate characteristic and peak gate power dissipation at $U_G \geq 6\text{ V}$.
Parameter:
Steuerimpulsdauer/Pulse duration t_g [ms] a b c d
Höchstzulässige Spitzensteuerleistung/
Maximum allowable peak gate power [W] 40 80 100 150



Bild/Fig. 19
Zündverzug t_{gd} bei $i_{TM} = 30\text{ A}$, $t_f = 25^\circ\text{C}$.
Gate controlled delay time t_{gd} at $i_{TM} = 30\text{ A}$, $t_f = 25^\circ\text{C}$.
a – äußerster Verlauf/limiting characteristic
b – typischer Verlauf/typical characteristic



Bild/Fig. 20
Nachlaufladung Q_s in Abhängigkeit von der abkommunizierenden Stromsteilheit
 $-di/dt$ bei $t_f = 125^\circ\text{C}$.
Der angegebene Verlauf wird von 90% aller Thyristoren nicht überschritten.
Lag charge Q_s versus the rate of decay of the forward on-state current
 $-di/dt$ at $t_f = 125^\circ\text{C}$.
These curves are valid for 90% of all thyristors.